· 临床医学 ·

血清NGAL与NLR在代谢综合征中的预测价值

钱唯韵*,马冰沁,严 淑,何俊波,袁一铭,陆亚华,汪良芝 苏州大学附属第三医院全科医学,江苏 常州 213000

[摘 要] 目的:观察血清中性粒细胞明胶酶相关脂质运载蛋白(neutrophil gelatinase-associated lipocalin, NGAL)水平与中性粒细胞-淋巴细胞比值(neutrophil-lymphocyte ratio, NLR)的相关性,探讨 NGAL联合 NLR 对代谢综合征(metabolic syndrome, MS)诊断的预测价值。方法:选取本院非 MS(Non-MS)组及 MS组各 60 例,所有研究对象行口服葡萄糖耐量试验(oral glucose tolerance test,OGTT)和胰岛素释放试验,检测 NGAL、NLR、血糖、血脂等相关生化指标。结果: MS组血清 NGAL水平高于 Non-MS组(P < 0.01)。NGAL与体重指数(BMI)、腰围(WC)、腰臀比(WHR)、收缩压(SBP)、舒张压(DBP)、空腹血糖(FPG)、OGTT 2 h血糖(2hPG)、糖化血红蛋白(HbA1c)、甘油三酯(TG)、HOMA-IR、NLR呈正相关,与高密度脂蛋白胆固醇(high density lipop-mtein cholesterin, HDL-C)及胰岛β细胞功能(HOMA-β)呈负相关(P < 0.05或P < 0.01)。Logistic 回归分析显示,随着血清 NGAL及 NLR水平升高,MS的发病风险呈上升趋势(P < 0.05)。ROC 曲线分析提示,NGAL联合 NLR 预测 MS的曲线下面积(AUC)为 0.683(95%CI: 0.592~0.765),优于单用 NGAL(AUC=0.664,95%CI: 0.573~0.748)]NLR(AUC=0.598,95%CI: 0.505~0.687)(P < 0.01)。结论: MS患者 NGAL水平与 NLR呈正相关,NGAL联合 NLR 预测 MS优于单独使用 NGAL及 NLR。

[关键词] 中性粒细胞明胶酶相关脂质运载蛋白;中性粒细胞-淋巴细胞比值;代谢综合征

[中图分类号] R589

[文献标志码] A

[文章编号] 1007-4368(2021)05-725-05

doi:10.7655/NYDXBNS20210515

中性粒细胞明胶酶相关脂质运载蛋白(neutrophil gelatinase-associated lipocalin, NGAL)是丹麦科学家 Kjeldsen等¹¹利用免疫沉淀法及免疫印迹法在中性粒细胞中发现的,其与明胶酶 B 即基质金属蛋白酶 9(matrix metalloproteinase-9, MMP-9)功能密切相关。由于它是脂质运载蛋白lipocalin家族的 2号成员,因此也被称为lipocatin-2。NGAL广泛分布于人体各种组织,包括肺、肝脏、胸腺、肾脏、小肠、中性粒细胞、巨噬细胞以及脂肪细胞,是新发现的一类脂肪细胞因子。既往研究主要围绕其与感染性疾病、肿瘤和肾功能损害间的关系,近年来的研究发现其与代谢综合征(metabolic syndrome, MS)相关的肥胖、胰岛素抵抗密切相关,研究显示 MS患者血清 NGAL水平上升,血清 NGAL可预测 MS的发生风险^[2-3]。

中性粒细胞-淋巴细胞比值(neutrophil-lymphocyte ratio, NLR)反映了中性粒细胞与淋巴细胞计数的相对变化。近年来作为新兴的炎症标志物,因其检测简便、非侵入性和低成本在多领域受到国内外

[基金项目] 常州市卫生人才培养工程(2016CZBJ019);常州应用基础研究(CJ20200117)

*通信作者(Corresponding author), E-mail; winter_1988524@126.

学者关注,已被广泛应用于肿瘤、心血管系统、呼吸系统等领域^[4]。

慢性炎症状态是 MS主要的病理生理机制^[5],有研究显示 NLR 水平在 MS患者中升高,其与 MS的发生及严重程度密切相关^[6]。综合上述研究结果表明, NAGL与 NLR 均是 MS的危险因素, 两者通过不同的机制促进 MS的发生发展。然而目前国内外尚未见有关 NGAL联合 NLR 预测 MS的报道。基于此,本研究旨在探讨 NGAL及 NLR 在 MS 风险预测中的价值,为 MS的早期临床防治提供依据。

1 对象和方法

1.1 对象

选取 2016年1月—2018年12月于苏州大学附属第三医院体检或就诊的汉族患者共120例,根据2005年国际糖尿病联盟(International Diabetes Federation, IDF)诊断标准分为 MS组及非 MS(Non-MS)组各60例,其中,男79例,女41例,平均年龄(46.29±11.41)岁。MS诊断标准参考2005年IDF全球共识定义,即必须具备中心型肥胖[腰围(waist circumference, WC)切点男 \geq 90 cm, \neq 0 cm]及下列4个因素中的任意2项:①甘油三酯(triglyceride,

TG)水平升高(>1.7 mmol/L);②高密度脂蛋白胆固醇(high density lipoprotein cholesterin, HDL-C)水平降低(男<1.03 mmol/L或女<1.29 mmol/L);③空腹血糖(fasting plasma glucose, FPG)升高(≥5.6 mmol/L)或已被诊断为2型糖尿病;④血压升高[收缩压(systolic blood pressure, SBP)≥130 mmHg或舒张压(diastolic blood pressure, DBP)≥85 mmHg]或已被诊断为高血压病。排除标准:近期服用降糖或降脂或降压药物者;肝肾功能异常者;甲状腺功能异常及其他自身免疫性疾病和肿瘤等病史者;女性妊娠期及哺乳期者。本研究经伦理委员会批准并知情同意。

1.2 方法

1.2.1 人体测量

由专人测定身高、体重、WC、臀围(hip circumference, HC)及血压,计算体重指数(body mass index, BMI)及腰臀比(waist-to-hip ratio, WHR)。

1.2.2 实验室检查

研究对象于试验前晚禁食8~12 h,次日行75 g 口服葡萄糖耐量试验(oral glucose tolerance test,OGTT),采静脉血测定FPG、OGTT 2 h血糖(2 h postOGTT glucose,2hPG)(葡萄糖氧化酶法)及空腹胰岛素(fasting insulin,FIns)、OGTT 2 h胰岛素(2 h postOGTT insulin,2hIns)(放免法)。采用高效液相层析法测定糖化血红蛋白(glycosylated hemoglobin,HbA1c),采用酶法测定TG、总胆固醇(total cholesterol,TC)、HDL-C、低密度脂蛋白胆固醇(lowdensity lipoprotein cholesterol,LDL-C)。NGAL水平采用胶乳增强免疫比浊法测定(浙江达美生物技术有限公司)。1.2.3 计算各指数

采用稳态模式评估法来评估胰岛素抵抗(homeostasis model of insulin resistance, HOMA-IR)指数和胰岛β细胞功能(homeostasis model of β-cell function, HOMA-β)指数: HOMA-IR=FPG×FINS/22.5, HOMA-β=FINS×20/(FPG-3.5)。

1.3 统计学方法

所有数据统计分析均运用软件 SPSS16.0。正态分布的数据用均数±标准差($\bar{x}\pm s$)表示。非正态分布数据以中位数(四分位数)[$M(P_{25},P_{75})$]表示,对非正态分布数据予对数转换,符合正态分布后行统计分析。计量资料两组间比较采用独立样本t检验,计数资料比较采用 χ^2 检验。血清 NGAL 与各指标的相关性采用 Pearson简单相关。使用 Logistic 回归分析相关危险因素预测 MS 发生风险。使用 Medcalc 软件绘制和分析 ROC 曲线,判别血清 NGAL 及

NLR在MS诊断中的价值。P < 0.05 为差异有统计学意义。

2 结 果

2.1 一般资料及生化指标比较

两组间性别构成比、年龄差异无统计学意义 (P>0.05)。 MS 组 BMI、WC、WHR、FPG、2hPG、SBP、DBP、FIns、2hIns、HbA1c、TG、TC、LDL-C、HOMA-IR、NLR及NGAL水平高于Non-MS组,HDL-C、HOMA-β水平低于Non-MS组,差异有统计学意义 (P<0.05或P<0.01,表1)。

2.2 NGAL与各临床指标的相关性分析

简单相关提示 NGAL与 BMI、WC、WHR、SBP、DBP、FPG、2hPG、HbA1c、TG、HOMA-IR、NLR 呈正相关 (*r*=0.228、0.278、0.252、0.239、0.209、0.230、0.200、0.232、0.325、0.199、0.770, *P* < 0.05 或 *P* < 0.01),与 HDL-C 及 HOMA-β呈负相关 (*r*=-0.340、-0.193,*P* < 0.05)。

2.3 血清NGAL、NLR与MS发病风险

将 NGAL、NLR 进行四分位分组,以是否发生 MS作为因变量,分别以 NGAL、NLR 作为自变量,以最低分位组(Q1组)为对照,进行 Logistic 回归分析,校正年龄、性别后,NGAL、NLR 最高分位组(Q4组)优势比(OR)分别为 11.667(3.222~42.241)、3.889(1.083~13.964), P均<0.05(表2)。

2.4 NGAL及NLR对MS发病风险的预测价值

NGAL 联合 NLR 预测 MS 的 ROC 曲线下面积 (AUC) 为 0.683, 95% CI: 0.592~0.765, 显 著高于 NGAL (AUC=0.664, 95% CI: 0.573~0.748)、NLR (AUC=0.598, 95% CI: 0.505~0.687)(P均 < 0.01, 表 3,图1)。

3 讨论

MS是肥胖、高血压、高血糖、血脂异常聚集的一种代谢异常状态。肥胖特别是中心性肥胖作为MS诊断的必备条件,可能是MS的基本病因之一^[7]。Wang等^[8]研究发现肥胖糖尿病小鼠肝脏和脂肪组织中的NGAL mRNA表达水平明显高于对照组。Auguet等^[9]分别对正常体重和肥胖女性内脏及皮下脂肪组织中的NGAL mRNA及蛋白进行检测,发现后者NGAL的表达水平显著高于前者。多项人群研究^[8,10]也发现肥胖患者血清NGAL水平明显升高,其与血脂水平呈正相关,上述实验结果均提示,体脂增加者NGAL水平升高,并且可能与肥胖相关的代

 $HDL-C(mmol/L, \bar{x} \pm s)$

 $HOMA-IR[M(P_{25},P_{75})]$

HOMA-β[$M(P_{25}, P_{75})$]

 $NGAL[ng/mL, M(P_{25}, P_{75})]$

 $NLR[M(P_{25},P_{75})]$

0.002

< 0.001

< 0.001

0.033

0.001

指标	Non-MS组(n=60)	MS组(n=60)	t/\chi²值	P值				
男/女(n/n)	35/25	44/16	3.001	0.123				
年龄(岁, $\bar{x} \pm s$)	45.12 ± 7.85	47.47 ± 14.07	-1.129	0.261				
$BMI(kg/m^2, \overline{x} \pm s)$	23.19 ± 2.32	27.82 ± 3.79	-8.067	< 0.001				
$WC(cm, \overline{x} \pm s)$	82.75 ± 7.66	99.93 ± 9.29	-10.932	< 0.001				
$WHR(\bar{x} \pm s)$	0.88 ± 0.05	0.96 ± 0.05	-8.196	< 0.001				
$SBP(mmHg, \bar{x} \pm s)$	123.73 ± 15.32	140.47 ± 14.94	-6.056	< 0.001				
$DBP(mmHg, \bar{x} \pm s)$	77.65 ± 10.25	90.48 ± 9.23	-7.206	< 0.001				
$FPG(mmol/L, \bar{x} \pm s)$	6.00 ± 2.71	11.34 ± 3.79	-8.852	< 0.001				
$2hPG(mmol/L, \bar{x} \pm s)$	8.14 ± 6.45	17.18 ± 4.63	-8.609	< 0.001				
$FIns(mU/L, \bar{x} \pm s)$	6.61 ± 2.46	12.36 ± 5.49	-7.393	< 0.001				
$2hIns(mU/L, \bar{x} \pm s)$	22.29 ± 12.23	30.50 ± 16.22	-7.583	< 0.001				
$\mathrm{HbA1c}(\%, \bar{x} \pm s)$	5.97 ± 2.27	10.73 ± 2.56	-10.612	< 0.001				
$TG(mmol/L, \overline{x} \pm s)$	1.46 ± 0.77	3.45 ± 2.20	-4.391	< 0.001				
$TC(\text{mmol/L}, \overline{x} \pm s)$	4.57 ± 0.74	5.21 ± 1.43	-3.043	0.003				
LDL-C(mmol/L, $\bar{x} \pm s$)	2.78 ± 0.68	3.07 ± 0.97	-1.879	0.038				

表1 两组间一般资料及生化指标比较

表2 不同血清NGAL、NLR水平与代谢综合征发生风险

 1.03 ± 0.70

5.41(3.94, 7.30)

30.94(18.23, 56.03)

1.60(1.55, 1.72)

66.79(58.33,83.56)

 1.37 ± 0.44

1.49(1.07, 2.03)

1.47(1.25, 1.77)

56.24(48.38,68.28)

74.01(49.84, 105.28)

指标	β	SE	Wald χ^2	OR	95%CI	P值
NGAL(Q4 vs. Q1)	2.457	0.656	14.005	11.667	3.222~42.241	< 0.001
NLR(04 vs. 01)	1.358	0.652	4.336	3.889	1.083~13.964	0.037

表3 NGAL、NLR对MS预测的ROC曲线下面积

变量	AUC(95%CI)	灵敏度(%)	特异度(%)	阳性预测值(%)	阴性预测值(%)	P值
NGAL	0.664(0.573~0.748)	85.00	46.67	61.40	75.70	0.002
NLR	0.598(0.505~0.687)	76.67	60.00	65.70	72.00	0.006
NGAL+NLR	0.683(0.592~0.765)	90.00	45.00	62.10	81.80	0.001

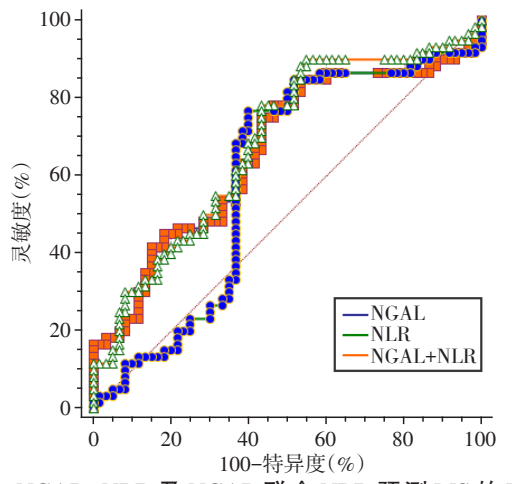


图 1 NGAL、NLR 及 NGAL 联合 NLR 预测 MS 的 ROC 曲线

谢异常有关。本研究显示血清NGAL水平与BMI、WC、WHR及TG等指标呈正相关,提示脂肪组织可能是肥胖状态下循环过多的NGAL的主要来源。

3.169

-12.198

4.150

-1.634

-3.257

胰岛素抵抗目前被认为是MS发生、发展的中心环节。动物研究显示敲除NGAL基因的小鼠空腹血糖及胰岛素水平显著降低,胰岛素敏感性增强,同时高血压的发病风险降低[II-12]。细胞实验也证实,在3T3-L1脂肪细胞中降低NGAL的表达,有利于脂肪细胞摄取葡萄糖,改善胰岛素敏感性[I3]。临床研究发现肥胖及2型糖尿病患者血清NGAL水平显著升高,而罗格列酮治疗显著降低了NGAL的水平^[14]。目前认为NGAL通过上调12-脂氧合酶的活性来诱导肿瘤坏死因子-α(TNF-atumor necrosis fac-

tor-α, TNF-α)的表达^[15],以增强 TNF-α介导的胰岛素受体底物-1的丝氨酸磷酸化,从而影响胰岛素受体后信号转导通路并导致胰岛素抵抗。本研究发现 NGAL与血糖代谢指标及 HOMA-IR 水平正相关,与上述研究结果基本一致。此外, NGAL与血压呈正相关,目前研究提示代谢紊乱所致的高血压伴随机体内 NGAL水平的升高可能与全身慢性炎症状态引起的肾损害有关^[16]。以上研究结果显示, NGAL与MS密切相关。本研究中MS组血清 NGAL水平高于 Non-MS组;随着血清 NGAL水平升高, MS发病风险呈上升趋势。

本课题组前期研究已证实,MS的发生发展与机 体慢性亚临床低度炎症状态有关[17]。慢性炎症状 态的产生与免疫系统的改变有关,慢性炎症导致的 白细胞数目增加,主要为非淋巴细胞如中性粒细胞 等水平升高,到达炎症或感染的部位激活后续免疫 细胞的招募,淋巴细胞存在消耗及增殖不足而水平 下降。因此,血细胞的变化可以作为炎症指标来评 价疾病的严重程度[18]。本研究结果发现,MS患者 NLR水平明显升高,随着NLR水平的上升,MS的发 病风险随之升高,与上述研究结果一致。此外, NGAL 水平与 NLR 显著正相关。动物实验发现 NGAL 缺陷鼠脂肪组织中的12-脂氧合酶活性降低, TNF-α及自介素-6(interleukin-6,IL-6)显著低表达[19], 人群研究也显示肥胖患者皮下脂肪组织NGAL mRNA及蛋白表达增加,其表达水平与某些炎症因 子如TNF-α及IL-6正相关^[9,20]。提示NGAL与慢性 低度炎症相关,炎症可能是NGAL与MS之间联系 的"桥梁"。

综合 NGAL、NLR 与 MS 的密切相关性,我们推测在预测 MS 发生风险上,联合应用 NGAL与 NLR 比单独应用更有优势。该研究结果表明, NGAL联合 NLR 预测 MS 的 AUC 为 0.683,显著大于 NGAL (AUC=0.664)、NLR (AUC=0.598)二者单独使用。证实两者联合预测 MS 的能力强于单独应用, NGAL和 NLR 联合使用可以作为一个识别 MS 高危人群的生物学指标。

MS和2型糖尿病、心血管及肾脏疾病的发生,以及心血管疾病病死率、全死因死亡率密切相关[21],且随着 MS 发病率的快速增加,带来了越来越多的社会、经济问题及家庭负担。因此,MS的早期预测、诊断具有重要意义。综上所述,本研究发现 MS 患者与 Non-MS 患者比较,血清 NGAL及 NLR 水平显著上升,NGAL与 NLR 水平呈正相关。NGAL联合 NLR

作为预测 MS 的生物学指标优于单独使用 NGAL、NLR,为 MS 的临床诊断及治疗提供新依据。但也存在不足的地方,本研究为横断面研究,样本数量有限,且人群种族、地域较局限。因此,未来需要更大样本、更广泛人群及地域的前瞻性研究进一步明确血清 NGAL联合 NLR 对评估 MS 的价值。

[参考文献]

- [1] KJELDSEN L, JOHNSEN A H, SENGELOV H, et al. Isolation and primary structure of NGAL, a novel protein associated with human neutrophil gelatinase [J]. J Biol Chem, 1993, 268(14):10425-10432
- [2] NA G Y, YOON S R, AN J, et al. The relationship between circulating neutrophil gelatinase associated lipocalin and early alteration of metabolic parameters is associated with dietary saturated fat intake in non-diabetic Korean women[J]. Endocr J, 2017, 64(3):303-314
- [3] BHUSAL A, RAHMAN M H, LEE W H, et al. Paradoxical role of lipocalin-2 in metabolic disorders and neurological complications [J]. Biochem Pharmacol, 2019, 169: 113626
- [4] 梁利民,徐鹤翔,郑吉顺,等. RDW、NLR联合 MELD评分评估失代偿期肝硬化患者预后的临床价值[J]. 南京医科大学学报(自然科学版),2020,40(2):217-222
- [5] CHEN Y, YU C Y, DENG W M. The role of pro-inflammatory cytokines in lipid metabolism of metabolic diseases
 [J]. Int Rev Immunol, 2019, 38(6):249-266
- [6] SYAUQY A, HSU CY, RAU HH, et al. Association of dietary patterns, anthropometric measurements, and metabolic parameters with C-reactive protein and neutrophil-to-lymphocyte ratio in middle-aged and older adults with metabolic syndrome in Taiwan: a cross-sectional study [J]. Nutr J, 2018, 17(1):106
- [7] ENGIN A. The definition and prevalence of obesity and metabolic syndrome [J]. Adv Exp Med Biol, 2017, 960: 1-17
- [8] WANG Y, LAM K S, KRAEGEN E W, et al. Lipocalin-2 is an inflammatory marker closely associated with obesity, insulin resistance, and hyperglycemia in humans [J]. Clin Chem, 2007, 53(1):34-41
- [9] AUGUET T, QUINTERO Y, TERRA X, et al. Upregulation of lipocalin 2 in adipose tissues of severely obese women: positive relationship with proinflammatory cytokines [J]. Obesity (Silver Spring), 2011, 19(12): 2295–2300
- [10] PRADEEP A R, NAGPAL K, KARVEKAR S, et al. Levels of lipocalin 2 in crevicular fluid and tear fluid in chronic periodontitis and obesity subjects [J]. J Investig Clin Dent, 2016, 7(4): 376-382

- [11] MOSIALOU I, SHIKHEL S, LUO N, et al. Lipocalin 2 counteracts metabolic dysregulation in obesity and diabetes[J]. J Exp Med, 2020, 217(10): e20191261
- [12] SONG E, FAN P, HUANG B, et al. Deamidated lipocalin-2 induces endothelial dysfunction and hypertension in dietary obese mice [J]. J Am Heart Assoc, 2014, 3 (2): e000837
- [13] ABELLA V, SCOTECE M, CONDE J, et al. The potential of lipocalin 2/NGAL as biomarker for inflammatory and metabolic diseases [J]. Biomarkers, 2015, 20(8): 565–571
- [14] EILENBERG W, STOJKOVIC S, PIECHOTA-POLANC-ZYK A, et al. Neutrophil gelatinase associated lipocalin (NGAL) is elevated in type 2 diabetics with carotid artery stenosis and reduced under metformin treatment [J]. Cardiovasc Diabetol, 2017, 16(1):98
- [15] ZHANG D, YE S, PAN T. The role of serum and urinary biomarkers in the diagnosis of early diabetic nephropathy in patients with type 2 diabetes[J]. PeerJ, 2019, 7:e7079
- [16] SEIBERT F S, SITZ M, PASSFALL J, et al. Prognostic value of urinary calprotectin, NGAL and KIM-1 in chronic

- kidney disease [J]. Kidney Blood Press Res, 2018, 43 (4):1255-1262
- [17] YUAN G, QIAN W, PAN R, et al. Reduced circulating oxytocin and high-molecular-weight adiponectin are risk factors for metabolic syndrome [J]. Endocr J, 2016, 63 (7):655-662
- [18] LIU C C, KO H J, LIU W S, et al. Neutrophil-to-lymphocyte ratio as a predictive marker of metabolic syndrome [J]. Medicine(Baltimore), 2019, 98(43): e17537
- [19] VICHAYA E G, GROSS P S, ESTRADA D J, et al. Lipocalin-2 is dispensable in inflammation-induced sickness and depression-like behavior [J]. Psychopharmacology (Berl), 2019, 236(10): 2975–2982
- [20] SINGH R G, NGUYEN N N, CERVANTES A, et al. Circulating levels of lipocalin-2 are associated with fatty pancreas but not fatty liver[J]. Peptides, 2019, 119:170117
- [21] JAHANGIRY L, FARHANGI M A, REZAEI F. Framingham risk score for estimation of 10-years of cardiovascular diseases risk in patients with metabolic syndrome [J]. J Health Popul Nutr, 2017, 36(1):36

[收稿日期] 2021-01-07

(上接第717页)

hybridization in diffuse large B-cell lymphoma [J]. Clin Microbiol Infect, 2015, 21(6):596-602

- [11] LIANG J H, LU L, ZHU H Y, et al. The prognostic role of circulating Epstein-Barr virus DNA copy number in angio-immunoblastic T-cell lymphoma treated with dose-adjusted EPOCH[J]. Cancer Res Treat, 2019, 51(1):150–157
- [12] LIANG J H, WANG L, PETER GALE R, et al. Efficacy of pegaspargase, etoposide, methotrexate and dexamethasone in newly diagnosed advanced-stage extra-nodal natural killer/T-cell lymphoma with the analysis of the prognosis of whole blood EBV-DNA[J]. Blood Cancer J, 2017, 7 (9):e608
- [13] KANAKRY J A, HEGDE A M, DURAND C M, et al. The clinical significance of EBV DNA in the plasma and peripheral blood mononuclear cells of patients with or with-

- out EBV diseases[J]. Blood, 2016, 127(16): 2007-2017
- [14] HOHAUS S, SANTANGELO R, GIACHELIA M, et al. The viral load of Epstein-Barr virus(EBV)DNA in peripheral blood predicts for biological and clinical characteristics in Hodgkin lymphoma[J]. Clin Cancer Res, 2011, 17 (9):2885–2892
- [15] KANAKRY J A, LI H, GELLERT L L, et al. Plasma Epstein-Barr virus DNA predicts outcome in advanced Hodg-kin lymphoma: correlative analysis from a large North American cooperative group trial [J]. Blood, 2013, 121 (18):3547-3553
- [16] KIM S J, YOON D H, JACCARD A, et al. A prognostic index for natural killer cell lymphoma after non-anthracy-cline-based treatment: a multicentre, retrospective analysis[J]. Lancet Oncol, 2016, 17(3):389-400

[收稿日期] 2020-12-23